

# 摩擦および特性変動を伴うクレーンシステムの ディスクリプタ表現を用いたロバスト安定化

2008MI199 坂井文香

指導教員：高見勲

## 1 はじめに

本研究では、状態空間表現において変動パラメータを2つ含むシステムを、ディスクリプタ表現を用いることで、変動パラメータが1つの線形システムで表現する [1]。また、ワイヤーの長さに対してポリトープシステムを用いてロバスト安定性を保証する。制御性能の向上には  $H_2$  制御を用いる。シミュレーションや実験では、定常偏差やオーバーシュートがなく目標値に追従することを目的とする。しかし、本研究で用いる3自由度クレーンのアームとトロリーの間には無視できない摩擦があるため、摩擦同定を行い、摩擦を含めたシミュレーションと、実験結果の検証を行う。

## 2 制御対象

本研究で用いる3自由度クレーンは、トロリーの位置、ワイヤーの長さ、タワーの旋回角度を制御出来る。本研究では、ワイヤーの長さを固定し、トロリーの位置を制御することで、安定かつ迅速にペイロードを運ぶことを目的とする。また、トロリーを吊り下げるワイヤーの長さ  $l$ [m] が  $0.1 \leq l \leq 0.7$  の範囲で安定に制御するために、ポリトープシステムを用いてロバスト制御を行う。トロリーの位置  $x_j(t)$ [m] とワイヤーの振れ角  $\gamma(t)$ [rad] はセンサーで測ることが出来る。入力  $u(t)$  はジブモータへの電流  $I(t)$ [A]、出力  $y(t)$  はペイロードの  $x$  座標の位置  $x_p(t)$ [m] とする。本研究では、ペイロードを 0.2[m] 移動させる。また、アームとトロリーの間働く摩擦力を  $F$ [N] とする。

## 3 モデリング

モデリングに用いるパラメータを次のように定義する。

$m_p$ : ペイロードの質量	: 0.147[Kg]
$m_t$ : トロリーの質量	: 0.6[Kg]
$g$ : 重力加速度	: 9.81[m/s <sup>2</sup> ]
$r_{j,p}$ : ジブモータのギヤ半径	: 0.0071[m]
$\eta_{g,j}$ : ジブモータのギヤボックス効率	: 0.95[m]
$K_{g,j}$ : ジブモータのギヤ比	: 1 : 3.7
$\eta_{m,j}$ : ジブモータ効率	: 0.79
$K_{t,j}$ : ジブモータのトルク定数	: 0.0396
$J_\psi$ : ジブモータの等価慣性モーメント	: $9.14 \times 10^{-7}$ [Kg · m <sup>2</sup> ]

$$M = m_p + m_t + \frac{J_\psi K_{g,j}^2}{r_{j,p}^2}$$

ラグランジュの運動方程式より導出した微分方程式を  $\gamma(t) = 0$  の近傍で線形近似すると次式となる。

$$\begin{cases} M\ddot{x}_j(t) - m_p l \ddot{\gamma}(t) = \frac{\eta_{g,j} K_{g,j} \eta_{m,j} K_{t,j}}{r_{j,p}} I(t) - F \\ m_p \ddot{x}_j(t) - m_p l \ddot{\gamma}(t) - m_p g \gamma(t) = 0 \end{cases}$$

## 3.1 状態方程式の導出

偏差の積分を  $e(t)$  とし、拡大系の状態変数を  $x_e(t) = [x_j(t) \ \gamma(t) \ \dot{x}_j(t) \ \dot{\gamma}(t) \ e(t)]^T$  とすると、状態方程式の拡大系は次式となる。 $w$  を外部入力とする。

$$\begin{aligned} \dot{x}_e(t) = & \begin{bmatrix} 0 & 0 & 1 & 0 & 0 \\ 0 & 0 & 0 & 1 & 0 \\ 0 & -1.7001 & 0 & 0 & 0 \\ 0 & -\frac{11.5011}{l} & 0 & 0 & 0 \\ -1 & l & 0 & 0 & 0 \end{bmatrix} x_e(t) \\ & + \begin{bmatrix} 0 & 0 & 18.2592 & \frac{18.2592}{l} & 0 \end{bmatrix}^T u(t) \\ & + \begin{bmatrix} 0 & 0 & 0 & 0 & 1 \end{bmatrix}^T w \end{aligned} \quad (1)$$

しかし、 $x_e(t)$  の係数行列に  $\frac{1}{l}, l$  が混在し、ポリトープ表現ができない。そこでディスクリプタ表現を用いて、不確かさを  $l$  のみにする。

## 3.2 ディスクリプタ方程式の導出

ディスクリプタ変数を

$$\tilde{x}_e(t) = [x_j(t) \ \gamma(t) \ \dot{x}_j(t) \ \dot{\gamma}(t) \ e(t) \ \ddot{x}_j(t) \ \ddot{\gamma}(t)]^T$$

とすると、ディスクリプタ方程式の拡大系は次式となる。

$$\tilde{E} \dot{\tilde{x}}_e(t) = \tilde{A} \tilde{x}_e(t) + \tilde{B} u(t) + \tilde{B}_2 w \quad (2)$$

$$\tilde{E} = \text{diag} \left[ 1, 1, 1, 1, 1, 0, 0 \right],$$

$$\tilde{A} = \begin{bmatrix} 0 & 0 & 1 & 0 & 0 & 0 & 0 \\ 0 & 0 & 0 & 1 & 0 & 0 & 0 \\ 0 & 0 & 0 & 0 & 0 & 1 & 0 \\ 0 & 0 & 0 & 0 & 0 & 0 & 1 \\ -1 & l & 0 & 0 & 0 & 0 & 0 \\ 0 & 0 & 0 & 0 & 0 & -M & m_p l \\ 0 & m_p g & 0 & 0 & 0 & -m_p & m_p l \end{bmatrix},$$

$$\tilde{B} = \begin{bmatrix} 0 & 0 & 0 & 0 & 0 & \frac{\eta_{g,j} K_{g,j} \eta_{m,j} K_{t,j}}{r_{j,p}} & 0 \end{bmatrix}^T,$$

$$\tilde{B}_2 = \begin{bmatrix} 0 & 0 & 0 & 0 & 1 & 0 & 0 \end{bmatrix}^T$$

不確かさは  $l$  のみとなり、ポリトープ表現が可能となる。

## 4 $H_2$ 制御系設計

$z$  を制御量、 $\gamma_2$  を  $H_2$  ノルムの上界とし、一般化プラントを次式とする。

$$\begin{aligned} \tilde{E} \dot{\tilde{x}}_e(t) &= \tilde{A} \tilde{x}_e(t) + \tilde{B} u(t) + \tilde{B}_2 w \\ z &= C \tilde{x}_e(t) + D u(t) \end{aligned}$$

$W_{x_j}, W_\gamma, W_e, W_u$  を重みとし,  $D, C$  を次式のように与える.

$$C = \begin{bmatrix} W_{x_j} & 0 & 0 & 0 & 0 & 0 & 0 \\ 0 & W_\gamma & 0 & 0 & 0 & 0 & 0 \\ 0 & 0 & 0 & 0 & W_e & 0 & 0 \\ 0 & 0 & 0 & 0 & 0 & 0 & 0 \end{bmatrix}, D = \begin{bmatrix} 0 \\ 0 \\ 0 \\ W_u \end{bmatrix}$$

$u(t) = K\tilde{x}_e(t), Y = KX$  とする時, 以下の LMI を満たす  $X, Y$  が存在すればシステムは安定であり, フィードバックゲイン  $K_1 = Y_1 X_{11}^{-1}$  で求められる.

$$\begin{bmatrix} X^T \tilde{A}^T + \tilde{A}X + Y^T \tilde{B}^T + \tilde{B}Y & X^T C^T + Y^T D^T \\ CX + DY & -I \end{bmatrix} < 0$$

$$\begin{bmatrix} \gamma_2 I & B_2^T \\ B_2 & X_{11} \end{bmatrix} > 0, X = \begin{bmatrix} X_{11} & 0 \\ X_{21} & X_{22} \end{bmatrix}, X_{11} > 0,$$

$$Y = \begin{bmatrix} Y_1 & 0 \end{bmatrix}, K = \begin{bmatrix} K_1 & 0 \end{bmatrix},$$

$$B_2 = \begin{bmatrix} 0 & 0 & 0 & 0 & 1 \end{bmatrix}$$

## 5 ポリトープ型不確かさを含む制御系設計

$A_2 = \tilde{A} + \tilde{B}K, C_2 = C + DK$  とすると, ポリトープシステムによる 2 次安定条件は次のようになる.

$$\sum_{i=1}^N \lambda_i (X^T A_{2i}^T + A_{2i} X + X^T C_2^T C_2 X) < 0, \forall \lambda_i$$

ロバスト安定性の保証のためには, 上式のような無数の行列不等式を考えなくてはならない. しかし, 本研究でのシステムはポリトープ型のため, 端点である  $l = 0.1$  及び  $l = 0.7$  で安定ならば, その間も安定である. 重みは  $W_x = 16, W_r = 10, W_e = 15, W_u = 200$ , ゲインは  $K_1 = [-0.9955 \quad -1.4859 \quad -0.7330 \quad -0.1151 \quad 0.5475]$  となる.

## 6 シミュレーションと実験

$l = 0.1, l = 0.3, l = 0.5, l = 0.7$  でのシミュレーションと実験結果を図 1, 2, 3, 4 に示す.

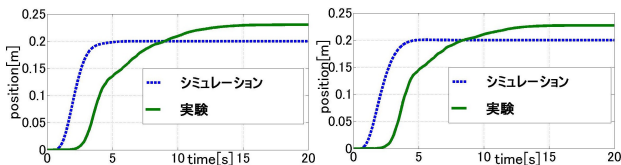


図 1  $l=0.1$  でのペイロードの位置 図 2  $l=0.3$  でのペイロードの位置

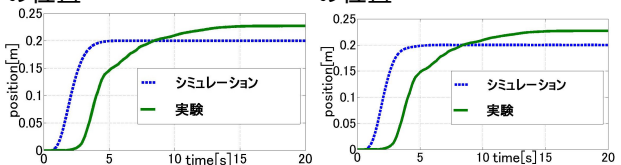


図 3  $l=0.5$  でのペイロードの位置 図 4  $l=0.7$  でのペイロードの位置

図 1, 2, 3, 4 において, 実験は立ち上がりが遅く, 定常偏差もある. 図 5 のように, シミュレーションは実験に比べて,

電流の値が小さいため, シミュレーションと実験結果が異なる原因として, 摩擦が考えられる.

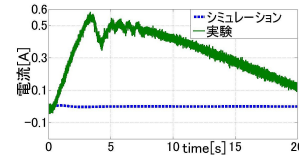


図 5  $l=0.1$  の時の電流

## 7 摩擦を考慮したシミュレーションと実験

$f_{max}$  [N] を最大静止摩擦力,  $f_c$  [N] をクーロン摩擦力,  $f_v$  [s · N/m] を粘性摩擦係数とし, アームとトロリーの間に働く摩擦力  $F$  [N] を, 次のように定義する.

$$F = \begin{cases} \text{sign}(I(t))f_{max} & \dot{x}_j = 0 \\ f_v \dot{x}_j(t) + \text{sign}(\dot{x}_j(t))f_c & \dot{x}_j \neq 0 \end{cases}$$

摩擦同定を行った結果,  $f_{max} = 2.323$  [N],  $f_c = 2.168$  [N],  $f_v = 6.168$  [s · N/m] となった.

次に, 摩擦を考慮しシミュレーションを行うために, ゲインを求めなおす.

$W_x = 4, W_r = 8, W_e = 240, W_u = 1$  で, ゲインが  $K_1 = [-14.8429 \quad -11.0939 \quad -6.9880 \quad 0.6493 \quad 14.5743]$  の時のシミュレーションと実験結果を図 6, 7, 8, 9 に示す.

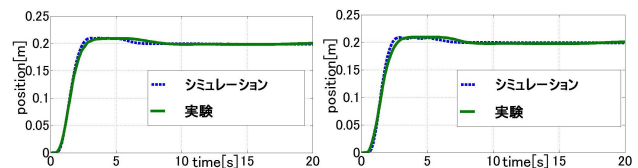


図 6  $l=0.1$  でのペイロードの位置 図 7  $l=0.3$  でのペイロードの位置

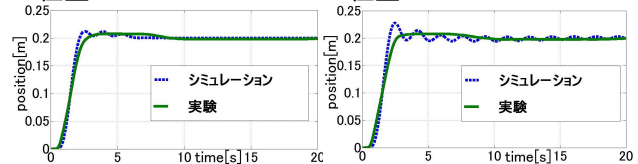


図 8  $l=0.5$  でのペイロードの位置 図 9  $l=0.7$  でのペイロードの位置

図 6, 7, 8, 9 において, オーバershootはあるが定常偏差はなく, シミュレーションと実験結果はほぼ一致している.

## 8 考察

本研究では, ポリトープ型不確かさを含むシステムに対して, ディスクリプタ方程式を用いてロバスト安定性を保証した. 結果として,  $0.1 \leq l \leq 0.7$  で安定に制御出来ていることが確認できた.

## 参考文献

- [1] 増淵, 示村: 『ゲインスケジューリング系の設計におけるディスクリプタ形式の利用について』, システム制御情報学会論文誌, 12-7, 390/394 (1999).